

ĐẠI HỌC QUỐC GIA HÀ NỘI

TRƯỜNG ĐẠI HỌC CÔNG NGHỆ



**THIẾT KẾ MẠCH ĐIỆN VÀ ĐÁNH GIÁ MỨC ĐỘ
BẢO MẬT CỦA BỘ SINH SỐ NGẪU NHIÊN TRÊN CÁC LINH KIỆN
RỜI RẠC VÀ TÍCH HỢP VÀO HỆ THỐNG
VI XỬ LÝ MICROBLAZE**

Giảng viên:	GS.TS Trần Xuân Tú	
	TS. Bùi Duy Hiếu	
Nhóm sinh viên:	Phạm Thành Nam	20021251
	Phạm Thị Huyền Trang	20021271
	Võ Tá Phong	20021258
	Bùi Thị Quỳnh Nga	20021252

Hà Nội - 2023

TÓM TẮT

Tóm tắt: Bộ sinh số ngẫu nhiên thực - True Random Number Generator (TRNG) là một trong những giải pháp quan trọng trong bảo mật. Độ phổ biến của TRNG đã tăng lên do nhu cầu ngày càng cao trong các ứng dụng an ninh mạng, mã hóa dữ liệu và các lĩnh vực khác yêu cầu số ngẫu nhiên chất lượng cao. Do đó, việc nghiên cứu về TRNG rất cần được quan tâm và xem xét. Nhận thấy tính cấp bách của đề tài nên nhóm sinh viên chúng em đã tiến hành nghiên cứu và thử nghiệm TRNG. Nội dung của bản báo cáo tập trung trình bày việc thiết kế mạch tạo số ngẫu nhiên dựa trên hiện tượng nhiễu avalanche và kết nối với mạch FPGA. Kiểm thử khả năng tạo số ngẫu nhiên của mạch bằng bài NIST test. Tìm hiểu về các cách tấn công mạch tạo số ngẫu nhiên

Từ khóa: Nhiễu avalanche, FPGA, NIST, TRNG.

MỤC LỤC

CHƯƠNG 1. THIẾT KẾ BỘ TẠO SỐ NGẪU NHIÊN THỰC.....	1
1.1. GIỚI THIỆU BỘ TẠO SỐ NGẪU NHIÊN THỰC	1
1.2. THIẾT KẾ MẠCH TẠO SỐ NGẪU NHIÊN DỰA TRÊN NHIỀU AVALANCHE.....	1
1.2.1. Sơ đồ mạch và nguyên lý hoạt động.....	1
1.2.2. Giới thiệu về chức năng của từng khối trong mạch.....	1
1.3. LINH KIỆN THIẾT KẾ MẠCH	6
1.4. LẮP RÁP MẠCH	7
1.5. KẾT LUẬN	7
CHƯƠNG 2. THỰC THI TRÊN FPGA.....	8
2.1. GIỚI THIỆU VỀ FPGA.....	8
2.2. CẤU HÌNH PHẦN CỨNG ĐỂ KẾT NỐI MẠCH SINH SỐ NGẪU NHIÊN VỚI ARTY	8
2.3. DỮ LIỆU ĐẦU RA	11
2.4. KẾT LUẬN	12
CHƯƠNG 3. ĐÁNH GIÁ KẾT QUẢ SỬ DỤNG NIST TEST	13
3.1. GIỚI THIỆU NIST TEST.....	13
3.2. KẾT QUẢ NIST TEST.....	14
3.3. KẾT LUẬN	16
CHƯƠNG 4. MỘT SỐ PHƯƠNG PHÁP TẤN CÔNG MẠCH.....	17
4.1. CÁC CÁCH TẤN CÔNG	17
4.1.1. Thay đổi điện áp nguồn.....	17
4.1.2. Tăng nhiệt độ của nguồn entropy	18
4.2. KẾT LUẬN	23

DANH SÁCH HÌNH ẢNH

Hình 1.1. Mạch sau khi thiết kế lại bằng phần mềm proteus nguồn [4]	1
Hình 1.2. Khối tăng điện áp.....	2
Hình 1.3. Sơ đồ mạch của một module tăng áp [5]	2
Hình 1.4. Mạch tạo và khuếch đại nhiễu [6]	3
Hình 1.5. Ảnh minh họa của một nhiễu avalanche [9].....	4
Hình 1.6. IC 74HC14.....	4
Hình 1.7. Nguyên lý hoạt động của khối [10]	5
Hình 1.8. Khối D flip-flop	5
Hình 1.9. Nguyên lý hoạt động của khối [11]	6
Hình 1.10. Mạch vật lý sau khi kết nối.....	7
Hình 2.1. Kit Artix 7 100T Arty FPGA Evaluation [13]	8
Hình 2.2. Cấu hình phần cứng của Arty-7 100T	10
Hình 2.3. Mạch sinh số ngẫu nhiên khi kết nối với Arty	11
Hình 2.4. Kết quả chuỗi số ngẫu nhiên	12
Hình 4.1. Vị trí tản công điện áp nguồn	17
Hình 4.2. Kết quả hiển thị trên màn hình sau khi ngắt nguồn cấp	18
Hình 4.3. Vị trí nguồn entropy để tản công nhiệt.....	19

DANH SÁCH CÁC BẢNG

Bảng 1.1. Linh kiện thiết kế mạch.....	6
Bảng 3.1. Danh sách các bài NIST test	13
Bảng 3.2. Kết quả của các NIST test của 23.000.000 bit.....	14
Bảng 4.1. Kết quả của các NIST test của 500.000 bit khi nguồn entropy hoạt động ở nhiệt độ bình thường.....	19
Bảng 4.2. Kết quả của các NIST test của 500.000 bit khi nguồn entropy bị tác động bởi nhiệt độ	21

DANH MỤC TỪ VIẾT TẮT

Ký hiệu	Tên tiếng anh	Tên tiếng việt
DC	Direct Current	Dòng điện một chiều
FPGA	Field – Programmable Gate Array	Thiết bị lập trình trường đa cổng
GPIO	General – Purpose Input/Output	Cổng vào/ra mục đích chung
I/O	Input/Output	Vào/ra
I2C	Inter – Integrated Circuit	Mạch tích hợp
IoT	Internet of Things	Internet vạn vật
IP	Intellectual Property	Sở hữu trí tuệ
NIST	National Institute of Standards and Technology	Viện nghiên cứu quốc gia về tiêu chuẩn và công nghệ
RAM	Random Access Memory	Bộ nhớ truy cập ngẫu nhiên
ROM	Read – Only Memory	Bộ nhớ chỉ đọc
SDK	Software Development Kit	Bộ phần mềm phát triển
SPI	Serial Peripheral Interface	Giao tiếp ngoại vi nối tiếp
TRNG	True Random Number Generator	Bộ tạo số ngẫu nhiên thực
UART	Universal Asynchronous Receiver – Transmitter	Bộ truyền nhận nối tiếp không đồng bộ
VHDL	VHSIC Hardware Description Language	Ngôn ngữ mô tả phần cứng
XDC	Xilinx Design Constraints	Ràng buộc thiết kế Xilinx

CHƯƠNG 1. THIẾT KẾ BỘ TẠO SỐ NGẪU NHIÊN THỰC

1.1. Giới thiệu bộ tạo số ngẫu nhiên thực

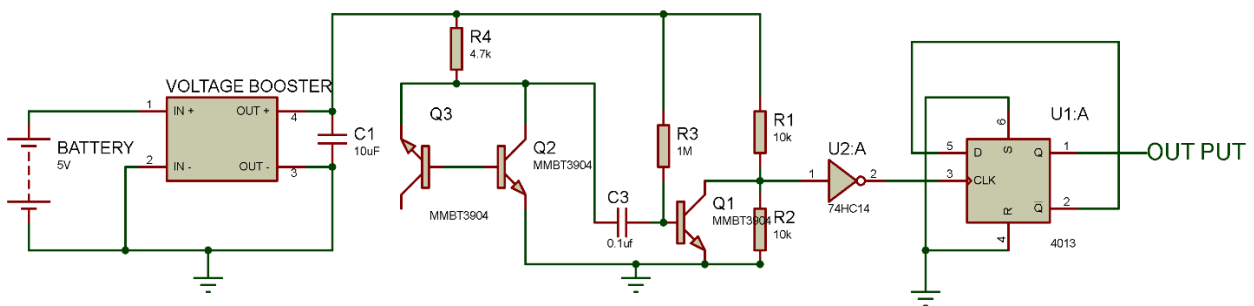
Sự phổ biến của các thiết bị được kết nối và tính chất ngày càng gia tăng của các cuộc tấn công, vi phạm và phần mềm độc hại khiến nhu cầu bảo mật trong các sản phẩm trở nên quan trọng hơn bao giờ hết. Các số ngẫu nhiên thực sự - True random number là trọng tâm của bất kỳ hệ thống bảo mật nào và chất lượng của chúng góp phần nâng cao sức mạnh bảo mật của thiết kế. Ngày nay, số ngẫu nhiên thực sự được yêu cầu quan trọng nhất trong mật mã và vô số ứng dụng của nó vào cuộc sống hàng ngày của chúng ta: thông tin di động, truy cập e-mail, thanh toán trực tuyến, thanh toán không dùng tiền mặt, ngân hàng điện tử, giao dịch qua Internet, điểm bán hàng, thẻ trả trước, khóa không dây, mô phỏng số, nghiên cứu thống kê, thuật toán ngẫu nhiên, xổ số, v.v [1]. Các số ngẫu nhiên yếu hoặc có thể dự đoán được sẽ mở ra cơ hội cho các cuộc tấn công có thể xâm phạm khóa, chặn dữ liệu và cuối cùng là hack các thiết bị cũng như hoạt động liên lạc của chúng.

Bộ tạo số ngẫu nhiên thực - True Random Number Generator (TRNG) là một hàm hay thiết bị dựa trên những hiện tượng vật lý không thể dự đoán được [2], gọi là nguồn entropy, được thiết kế để tạo ra dữ liệu không xác định (ví dụ: chuỗi số) cho các thuật toán bảo mật gốc. Để có hiệu quả, các số ngẫu nhiên phải không thể đoán trước, độc lập về mặt thống kê (không liên quan đến bất kỳ số ngẫu nhiên nào được tạo trước đó) và phân bố đồng đều (xác suất bằng nhau đối với bất kỳ số nào được tạo) [3].

1.2. Thiết kế mạch tạo số ngẫu nhiên dựa trên nhiễu avalanche

1.2.1. Sơ đồ mạch và nguyên lý hoạt động

Sơ đồ mạch tạo số ngẫu nhiên được tạo từ nguyên mẫu thiết kế có ở hình 1.1 sau đây và được thiết kế và chỉnh sửa lại thông qua phần mềm proteus.

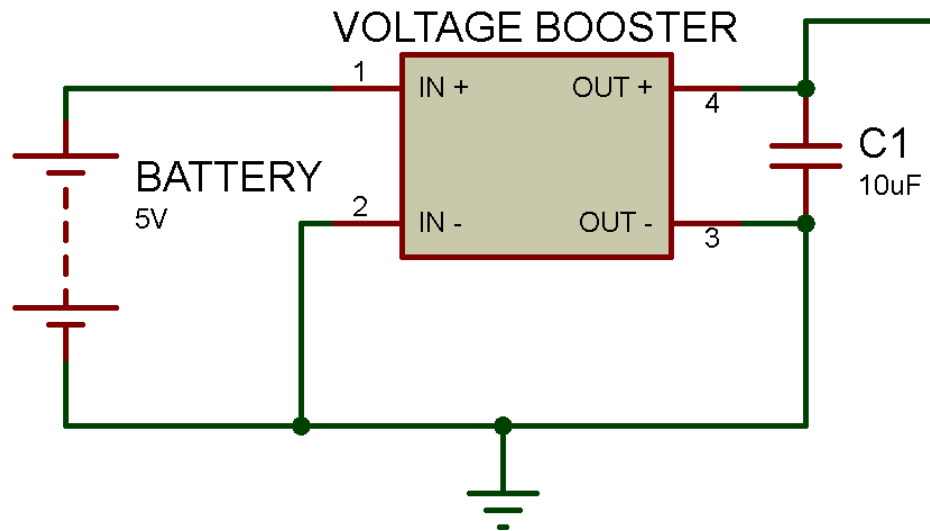


Hình 1.1. Mạch sau khi thiết kế lại bằng phần mềm proteus nguồn [4]

Nguyên lý: Điện áp 5V được cấp vào bộ chuyển đổi tăng áp (Voltage booster), điện áp đầu ra sẽ tăng lên 12V. Dòng điện 12V đi tới transistor Q3 tạo nhiễu và được khuếch đại bởi transistor Q1 và Q2. Bộ chuyển đổi tín hiệu (Hex Schmitt-Trigger inverter) sẽ chuyển đổi các tín hiệu được khuếch thành các tín hiệu xung clock. Khi nhận được xung clock thì D-flip-flop sẽ lưu trữ giá trị trên lối vào D và đưa ra giá trị tương ứng bit 0 hoặc 1 trên lối ra Q. Dữ liệu đầu ra có định dạng là các bit 0 hoặc 1. Đầu ra của mạch sẽ được kết nối với một thiết bị khác để kết nối, hiển thị và ghi lại trên máy tính.

1.2.2. Giới thiệu về chức năng của từng khối trong mạch

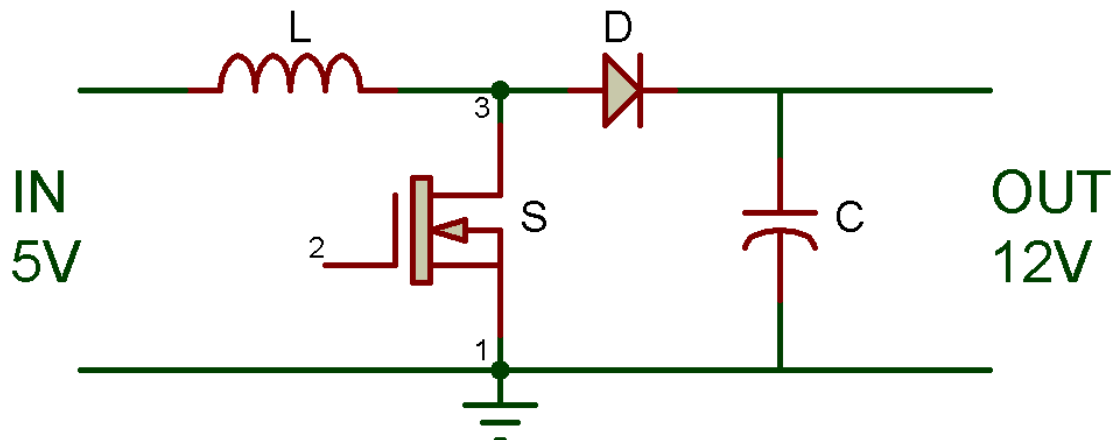
a. Khối tăng áp



Hình 1.2. Khối tăng điện áp

Module tăng áp-boost converter có chức năng tăng điện áp một chiều ở đầu vào thành điện áp một chiều có giá trị cao hơn ở đầu ra. Tụ điện được đặt ở đầu ra của module có chức năng ổn định điện áp đầu ra ở mức 12V.

Cách hoạt động của module tăng áp dựa trên nguyên lý lưu trữ năng lượng trên trong cuộn cảm. Lượng điện áp giảm xuyên suốt của cuộn cảm tỷ lệ thuận với sự thay đổi về dòng điện chạy trong mạch.



Hình 1.3. Sơ đồ mạch của một module tăng áp [5]

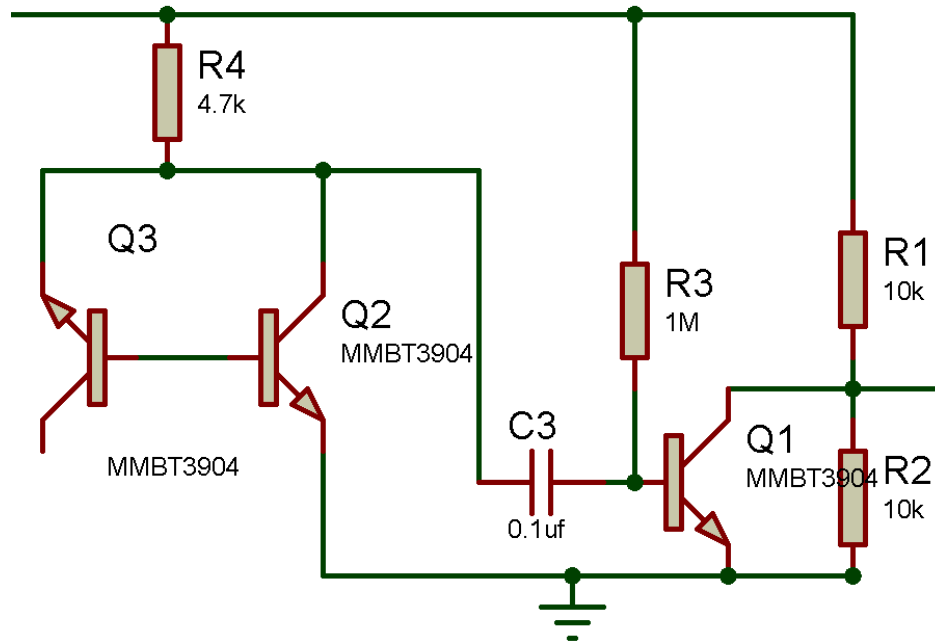
Trong sơ đồ mạch này, transistor hiệu ứng trường - Metal Oxide Semiconductor Field Effect Transistor (MOSFET) S được đặt vào với chức năng như một công tắc đóng và ngắt mạch, diode D được sử dụng như một công tắc thứ 2 ngăn điện áp ngược. Module sẽ hoạt động ở hai chế độ. Ở chế độ 1, công tắc S bật và D tắt, dòng điện sẽ đi vào cuộn cảm và cuộn cảm sẽ lưu trữ năng lượng do ảnh hưởng ở trường điện từ. Ở chế độ 2, công tắc S tắt và D bật, trong chế độ này, cuộn cảm sẽ giải phóng năng lượng

vào tụ điện điện trở của mạch từ đó tăng điện áp đầu ra. Quá trình bật tắt diễn ra liên tục và nhanh không thể quan sát được bằng mắt thường. [5]

b. Mạch tạo nhiễu

- Giới thiệu về cách hoạt động của mạch

Mạch hoạt động dựa trên nguyên lý nhiễu avalanche tạo bởi transistor Q3. Tín hiệu nhiễu sau khi được tạo ra sẽ được khuếch đại bởi transistor Q1 và Q2.



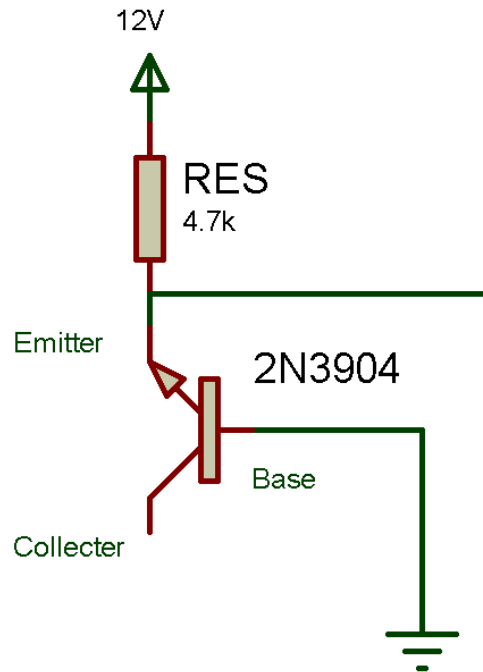
Hình 1.4. Mạch tạo và khuếch đại nhiễu [6]

- Nguyên lý nhiễu avalanche

Khi một điện áp ngược được đặt trên diode vẫn sẽ có một lượng nhỏ dòng điện được đi qua. Khi điện áp ngược tăng lên, nó sẽ chạm tới một mốc khi mà dòng điện tăng đột biến. Sự tăng đột biến của dòng điện dưới tác động của điện áp ngược đó là đặc trưng của sự đánh thủng và giá trị điện áp ngược gây hiện tượng trên được gọi là điện áp đánh thủng.

Nhiễu avalanche là nhiễu được tạo ra khi ta đặt điện áp ngược lên một phân lớp p-n vượt quá điện áp đánh thủng. Nó xảy ra khi bề mặt phân lớp thu được đủ thế năng dưới sự tác động của trường điện tích mạnh tạo ra thêm các cặp điện tích-lỗ trống do sự va chạm của các nguyên tử trong cấu trúc tinh thể. [7]

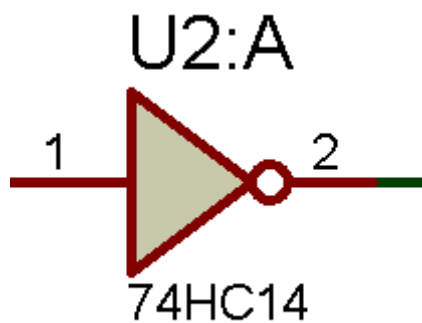
Để có thể tạo ra nhiễu avalanche ta sử dụng phân lớp base-emitter của một NPN transistor bởi vì phân lớp này có điện áp đánh thủng thấp. Lượng nhiễu được tạo ra sẽ phụ thuộc vào tính chất vật lý của phân lớp như vật liệu và mức độ pha tạp. Tại đây, nhiễu avalanche sẽ được ứng dụng làm 1 nguồn entropy. [8]



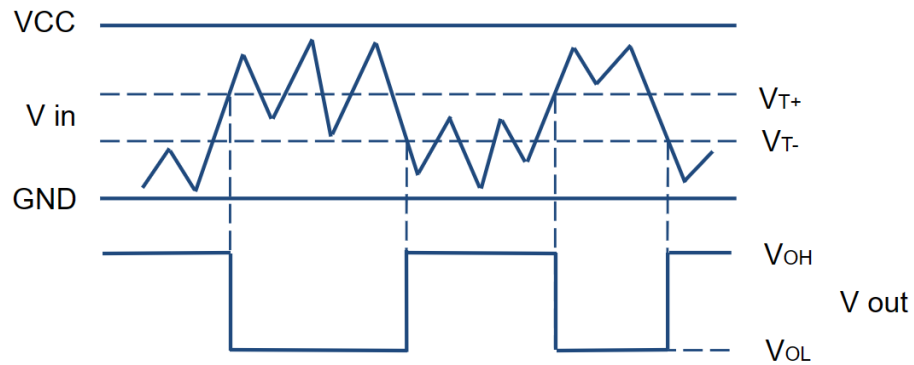
Hình 1.5. Ảnh minh họa của một nhiễu avalanche [9]

c. Khối tạo xung clock

Khối tạo xung clock sử dụng IC 74HC14 nhận điện áp vào là nhiễu sau khi đã khuếch đại. Nếu điện áp đầu vào của khối lớn hơn giá trị V_{T+} thì điện áp đầu ra sẽ được đặt ở mức thấp VOL. ngược lại, nếu điện áp đầu vào của khối nhỏ hơn giá trị V_{T-} thì điện áp ở đầu ra sẽ được đặt ở mức cao VOH. [10]

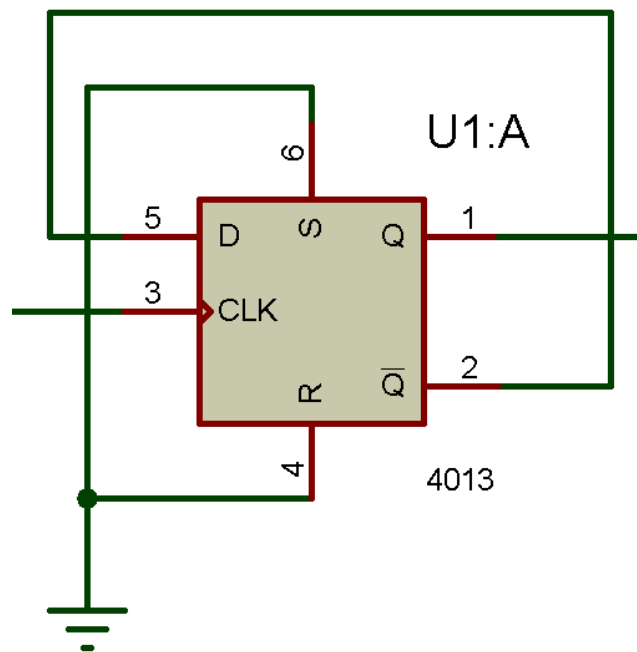


Hình 1.6. IC 74HC14



Hình 1.7. Nguyên lý hoạt động của khối [10]

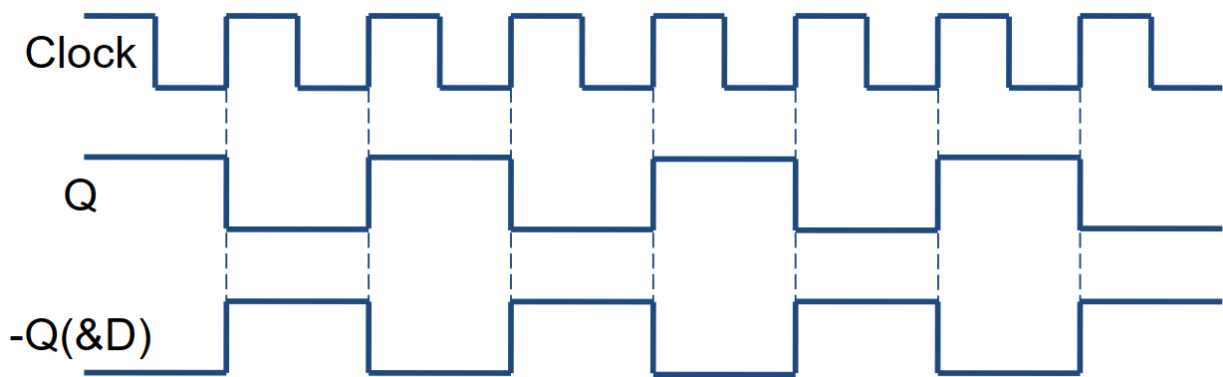
d. Khối D flip-flop



Hình 1.8. Khối D flip-flop

Trong khối flip-flop thì Q là chân dữ liệu ra, \bar{Q} là chân đảo của Q và được kết nối với chân dữ liệu vào D, xung clock sẽ được đưa vào chân CLK của khối.

Khi Q được đặt ở 1 thì \bar{Q} sẽ được đặt ở 0, khi xung clock đầu vào bắt đầu sườn lên thì điện áp Q sẽ được đặt 0 và \bar{Q} được đặt thành 1. Khi xung clock bắt đầu sườn lên tiếp theo lên thì điện áp của hai chân Q và \bar{Q} đảo ngược lại thành 1 và 0. Quá trình diễn ra liên tục và arduino sẽ đọc giá trị đầu ra của chân Q. [11]



Hình 1.9. Nguyên lý hoạt động của khối [11]

1.3. Linh kiện thiết kế mạch

Bảng 1.1 dưới đây là danh sách số lượng và thông số của những linh kiện phục vụ cho quá trình thiết kế mạch.

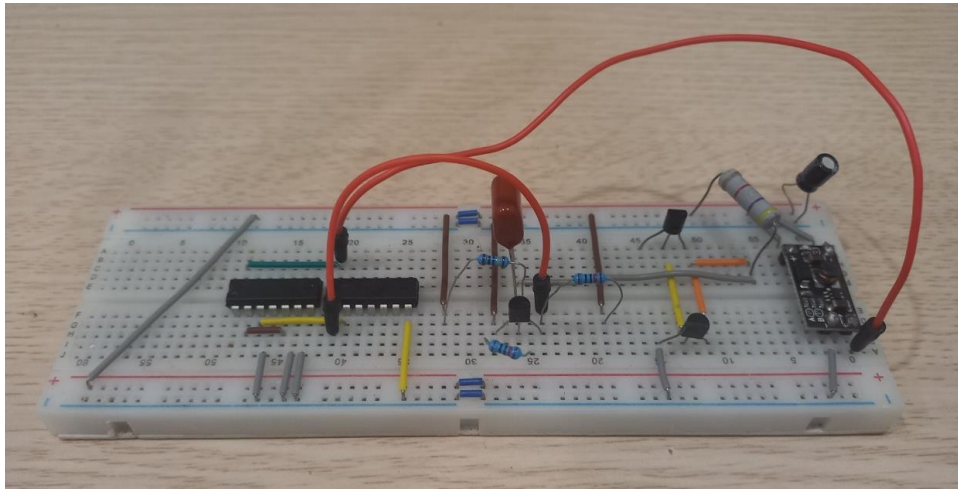
Bảng 1.1. Linh kiện thiết kế mạch

Tên linh kiện	Mã linh kiện	Số lượng
Module tăng áp 5V DC lên 12V DC		1
Bộ chuyển đổi Hex-Schmitt Trigger	SN74LS14N	1
D-flop	CD4013BE	1
Tụ 0.1 microFarad	0.1uF Cap	1
Tụ 10 microFarad	10uF CP	1
Transistor loại NPN	2N3904	3
Điện trở 4.7K Ohm 1/4W 1%	4.7k resistors	1
Điện trở 1M Ohm	1M resistors	1
Điện trở 10k Ohm	10k resistors	2

Bảng mạch	Breadboard	1
Dây nối	Jumpwire	

1.4. Lắp ráp mạch

Sau khi chuẩn bị và kết nối các linh kiện lại với nhau đúng theo như mô phỏng bên trên cho ra kết quả là mạch vật lý như hình 1.10.



Hình 1.10. Mạch vật lý sau khi kết nối

1.5. Kết luận

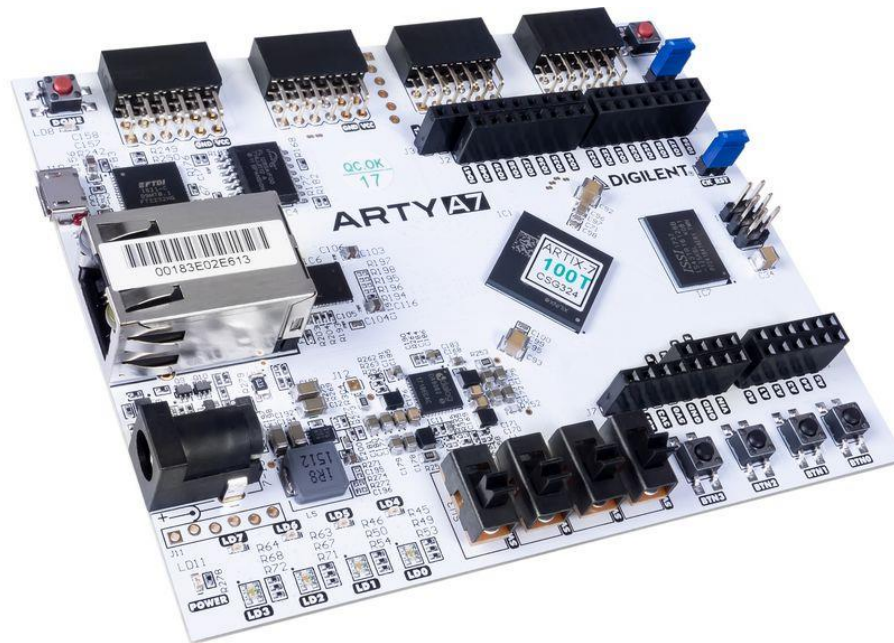
Thông qua chương 1, báo cáo đã được cung cấp thông tin khái quát về bộ tạo số ngẫu nhiên thực và chức năng của mạch tạo số ngẫu nhiên cũng như chức năng cụ thể của từng khối trong mạch. Từ bản vẽ bằng phần mềm ta kết nối các linh kiện với nhau để tạo ra mạch hoàn chỉnh.

CHƯƠNG 2. THỰC THI TRÊN FPGA

2.1. Giới thiệu về FPGA

Mảng cổng lập trình được dạng trường (Field-Programmable Gate Array – FPGA) là vi mạch dùng cấu trúc mảng phần tử, được cấu hình bằng ngôn ngữ thiết kế phần cứng như VHDL hay Verilog, các khối logic có thể định cấu hình được kết nối thông qua các kết nối có thể lập trình được. Thành phần cấu tạo của FPGA gồm: các khối logic có thể tái cấu hình, các cổng I/O để giao tiếp giữa các khối logic và kiến trúc bên ngoài, kết nối trong (interconnect) để liên kết các khối logic và cổng I/O, khối ROM/RAM để lưu trữ dữ liệu. FPGA có thể được lập trình lại theo yêu cầu ứng dụng hoặc chức năng mong muốn sau khi sản xuất. FPGA được dùng để giải quyết những bài toán phức tạp, ứng dụng trong xử lý tín hiệu số, hàng không vũ trụ, mật mã học và nhiều lĩnh vực khác [12].

Arty A7 là bo mạch phát triển FPGA của hãng Digilent được xây dựng dựa trên nền tảng FPGA Artix-7 của Xilinx, sản phẩm phù hợp với cho quá trình tìm hiểu về FPGA. Nó có các cổng giao tiếp thông dụng như: UARTs, SPIs, I2Cs, được thiết kế đặc biệt để dùng làm hệ thống vi xử lý mềm MicroBlaze. Gồm 2 phiên bản là Arty-35T và Arty-100T, phiên bản được sử dụng trong báo cáo này là Arty-100T.



Hình 2.1. Kit Artix 7 100T Arty FPGA Evaluation [13]

2.2. Cấu hình phần cứng để kết nối mạch sinh số ngẫu nhiên với Arty

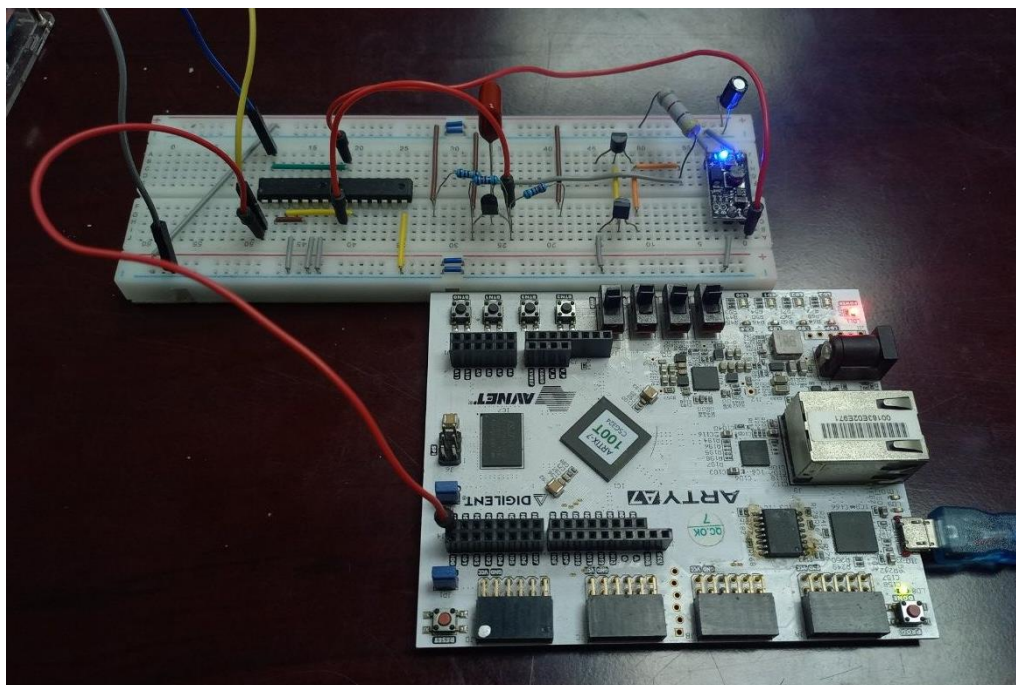
Để thực thi bộ sinh số ngẫu nhiên, trước tiên phải thiết kế và cấu hình cho FPGA. Sau đây là các bước trong quy trình cấu hình cho FPGA để nhận dữ liệu từ mạch, và hiển thị trên màn hình máy tính. Việc thiết kế được thực hiện trên phần mềm Vivado-một công cụ phần mềm của Xilinx được thực hiện theo các bước dưới đây:

1. Tạo Block Design: Block Design được tạo bằng việc thêm các IP và kết nối chúng. Bước này giúp thêm các mô-đun cần thiết cho FPGA để có thể nhận và truyền dữ liệu. Trong quá trình thiết kế Block Design có thể sử dụng công cụ Validate design để có kiểm tra thiết kế đáp ứng các yêu cầu của một hệ thống.
2. Tạo tệp wrapper cho hệ thống: Tệp wrapper được dùng để chuyển đổi hệ thống từ Block Design sang ngôn ngữ mô tả phần cứng. Chọn Create HDL Wrapper để tạo mô hình VHDL cấp cao nhất.
3. Tạo tệp Constraint: Tệp Constraint được dùng để ràng buộc các chân đầu ra cho hệ thống FPGA. Để ràng buộc các chân GPIO, cần chỉ định tên các chân GPIO và ánh xạ tới FPGA. Thêm dòng lệnh sau trong tệp XDC để thêm một chân GPIO cần thiết:

```
set_property -dict {<Pin name> IOSTANDARD LVCMOS33} [get_ports {GPIO name }];
```

4. Synthesis: Là quá trình chuyển đổi ngôn ngữ mô tả phần cứng của thiết kế thành netlist (Netlist là một danh sách các cổng và các cấu trúc logic cụ thể trong thiết kế). Bước này còn giúp điều chỉnh và tối ưu hóa thiết kế trước khi thực thi trên FPGA.
5. Implementation: Bước này giúp triển khai thiết kế từ mô hình logic thành nguyên mẫu để chạy trên FPGA. Quá trình này để đảm bảo thiết kế được thực thi một cách chính xác trên FPGA.
6. Tạo Bitstream: Đây là một trong những bước quan trọng nhất trong quá trình cấu hình FPGA. Tạo một tệp bitstream để có thể nạp vào FPGA để thực hiện chức năng cụ thể đã được thiết kế.
7. Lập trình trên FPGA: Sau khi tạo tệp bitstream từ bước trước đó, cần tạo code trên phần mềm SDK. Chương trình sẽ được biên dịch và chạy trên FPGA, kết quả sẽ được hiển thị trên phần mềm.

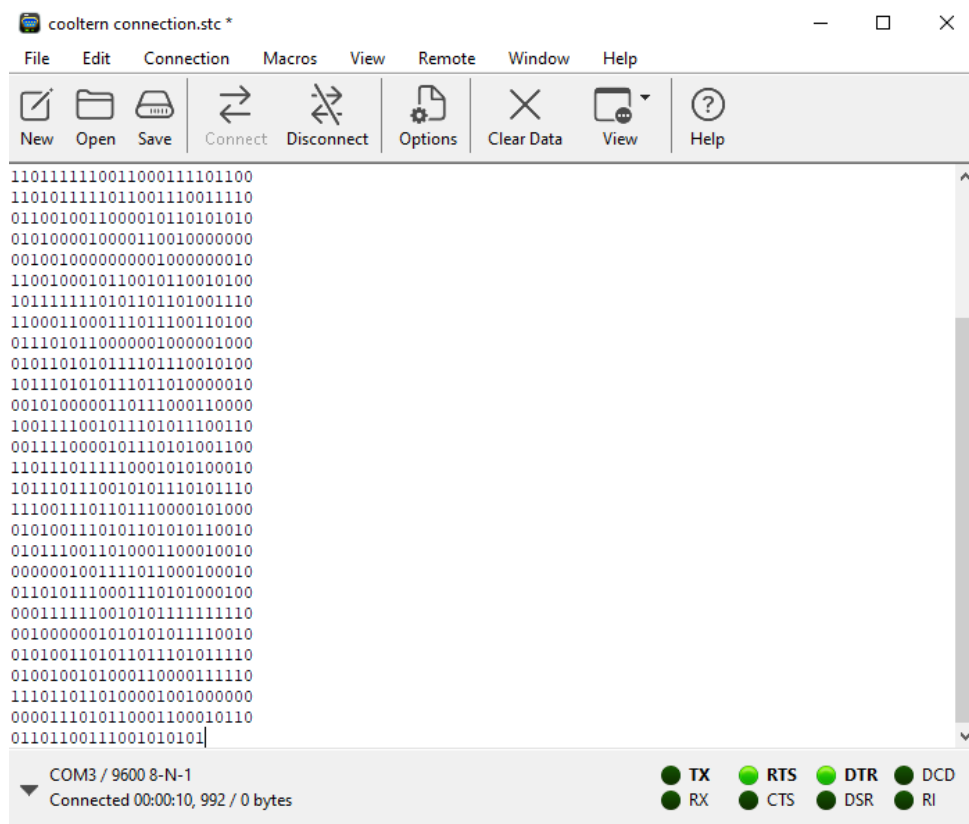
Hình 2.2 sau đây là sơ đồ khối cấu hình phần cứng của Arty-7 100T bằng phần mềm Vivado. Sơ đồ khối phần cứng sẽ được thêm vào 2 khối UART để kết nối với máy tính và AXI GPIO để cấu hình chân đọc giá trị đầu ra của mạch tạo số ngẫu nhiên.



Hình 2.3. Mạch sinh số ngẫu nhiên khi kết nối với Arty

2.3. Dữ liệu đầu ra

Sử dụng phần mềm Coolterm để ghi dữ liệu đầu ra, dữ liệu được hiển thị trên màn hình theo các dòng, mỗi dòng 25 bit 0 và 1. Kết quả được ghi vào tệp text để phục vụ cho việc đánh giá. Qua đánh giá chủ quan, có thể thấy các dữ liệu được sinh ra có số lượng bit 0 và bit 1 đồng đều, tuy nhiên, việc đánh giá cần sử dụng các bài test để có độ chính xác cao hơn.



Hình 2.4. Kết quả chuỗi số ngẫu nhiên

2.4. Kết luận

Hệ thống FPGA không thể thực hiện hoạt động mà không được cấu hình trước. Để thực thi bộ sinh số ngẫu nhiên trên bo mạch Arty A7, quá trình cấu hình là bước quan trọng không thể bỏ qua. Trong quá trình này, thông tin về cách các khối logic và các thành phần kết nối của FPGA được ghi vào một tệp bitstream.

Tệp bitstream chứa các chỉ dẫn cụ thể để FPGA được cấu hình và kết nối đúng cách. Đây là quy trình quyết định cấu trúc và chức năng của FPGA để thích ứng với thiết kế cụ thể của bạn. Sau khi tạo bitstream, nó sẽ được nạp vào FPGA, các khối trên FPGA sẽ được kết nối theo thông tin trong tệp bitstream.

Vì vậy, quá trình cấu hình là bước rất quan trọng trong việc đưa hệ thống FPGA từ trạng thái chưa được cấu hình đến trạng thái có thể hoạt động theo yêu cầu thiết kế được đưa ra. Chương này đã cho thấy quy trình thiết kế và cấu hình để thực thi bộ sinh số ngẫu nhiên tích hợp vào hệ thống MicroBlaze.

CHƯƠNG 3. ĐÁNH GIÁ KẾT QUẢ SỬ DỤNG NIST TEST

3.1. Giới thiệu NIST test

Bộ kiểm tra của Viện Tiêu chuẩn và Công nghệ Quốc gia Mỹ - National Institute of Standards and Technology (NIST) là gói thống kê bao gồm 16 thử nghiệm được phát triển để kiểm tra tính ngẫu nhiên của các chuỗi nhị phân (dài tùy ý) được tạo bởi các bộ tạo số ngẫu nhiên hoặc giả ngẫu nhiên bằng mật mã dựa trên phần cứng hoặc phần mềm. Các thử nghiệm này tập trung vào nhiều loại không ngẫu nhiên khác nhau có thể tồn tại theo một trình tự. Một số bài kiểm tra có thể phân tách thành nhiều bài kiểm tra phụ. Tại bảng 4.1 dưới đây là 16 bài kiểm tra. [14]

Bảng 3.1. Danh sách các bài NIST test

STT	Tên bài kiểm tra	Mục đích
1.	Frequency (Monobit) Test	Kiểm tra tỉ lệ số lượng số 1 so với số 0 trong chuỗi bit, đánh giá xem chuỗi có phân phối đều không.
2.	Frequency Test within a Block	Chia chuỗi thành các khối và kiểm tra sự phân bố của số 1 và số 0 trong từng khối.
3.	Runs Test	Kiểm tra số lượng chuỗi (runs) liên tục của số 1 hoặc số 0 trong chuỗi bit
4.	Test for the Longest Run of Ones in a Block	Kiểm tra số lần xuất hiện của chuỗi số 1 dài nhất trong từng khối
5.	Binary Matrix Rank Test	Xác định hạng của ma trận nhị phân được tạo từ chuỗi bit
6.	Discrete Fourier Transform (Spectral) Test	Sử dụng phép biến đổi Fourier rời rạc để kiểm tra tính phổ của chuỗi
7.	Non-overlapping Template Matching Test	Kiểm tra số lần mẫu (template) xuất hiện không chồng lấn trong chuỗi
8.	Overlapping Template Matching Test	Kiểm tra số lần mẫu xuất hiện có chồng lấn trong chuỗi
9.	Maurer's "Universal Statistical" Test	Sử dụng kỹ thuật thống kê để kiểm tra tính không chu kỳ của chuỗi

10.	Linear Complexity Test	Đo độ phức tạp tuyến tính của chuỗi bit
11.	Serial Test	Kiểm tra sự phụ thuộc giữa các chuỗi bit liên tiếp trong chuỗi
12.	Approximate Entropy Test	Đánh giá độ ngẫu nhiên của chuỗi dựa trên độ lệch của thông tin entropy xấp xỉ
13.	Cumulative Sums Test (Forward)	Kiểm tra xem tổng tích lũy của chuỗi có lớn hay nhỏ so với kỳ vọng của một chuỗi ngẫu nhiên hay không
14.	Cumulative Sums Test (Backward)	
15.	Random Excursions Test:	Đếm số lượng chu kỳ cụ thể trong một cuộc đi bộ ngẫu nhiên của chuỗi
16.	Random Excursions Variant	Đếm số lần một trạng thái cụ thể được thăm trong một cuộc đi bộ ngẫu nhiên của chuỗi

3.2. Kết quả NIST test

Bảng 3.2 sau đây là kết quả của NIST test với định dạng đầu vào bộ số ngẫu nhiên gồm 23.000.000 bit.

Bảng 3.2. Kết quả của các NIST test của 23.000.000 bit

Bài kiểm tra	P-Value	Kết luận
01. Frequency (Monobit) Test	0.231696559	Ngẫu nhiên
02. Frequency Test within a Block	0.47346398	Ngẫu nhiên
03. Runs Test	0.622316246	Ngẫu nhiên
04. Test for the Longest Run of Ones in a Block	0.195221157	Ngẫu nhiên
05. Binary Matrix Rank Test	0.369339513	Ngẫu nhiên

06. Discrete Fourier Transform (Spectral) Test		0.112386576	Ngẫu nhiên
07. Non-overlapping Template Matching Test		0.816816571	Ngẫu nhiên
08. Overlapping Template Matching Test		0.767932496	Ngẫu nhiên
09. Maurer's "Universal Statistical" Test		0.218412003	Ngẫu nhiên
10. Linear Complexity Test		0.915316791	Ngẫu nhiên
11. Serial Test:		0.512747579	Ngẫu nhiên
		0.812005813	Ngẫu nhiên
12. Approximate Entropy Test		0.083654909	Ngẫu nhiên
13. Cumulative Sums Test (Forward)		0.357141265	Ngẫu nhiên
14. Cumulative Sums Test (Backward)		0.300269413	Ngẫu nhiên
15. Random Excursions Test:			
Trạng thái	Chi Squared	P-Value	Kết luận
-4	0.982896471	0.96393346	Ngẫu nhiên
-3	0.832695082	0.974901245	Ngẫu nhiên
-2	2.150779194	0.827912997	Ngẫu nhiên
-1	2.147540984	0.828376245	Ngẫu nhiên
1	8.016393443	0.155334464	Ngẫu nhiên
2	5.38818053	0.370363118	Ngẫu nhiên
3	1.95255082	0.855670826	Ngẫu nhiên
4	4.200080568	0.520983661	Ngẫu nhiên
16. Random Excursions Variant			
Trạng thái	COUNTS	P-Value	Kết luận
-7	266	0.809136943	Ngẫu nhiên

-6	288	0.607058312	Ngẫu nhiên
-5	304	0.451267892	Ngẫu nhiên
-4	302	0.428576985	Ngẫu nhiên
-3	282	0.566378589	Ngẫu nhiên
-2	268	0.681342728	Ngẫu nhiên
-1	235	0.855426029	Ngẫu nhiên
1	217	0.480401901	Ngẫu nhiên
2	233	0.618521679	Ngẫu nhiên
3	264	0.365276044	Ngẫu nhiên
4	283	0.308069426	Ngẫu nhiên
5	293	0.321209231	Ngẫu nhiên
6	287	0.461904248	Ngẫu nhiên
7	254	0.880060193	Ngẫu nhiên
8	241	0.967338681	Ngẫu nhiên
9	256	0.880243464	Ngẫu nhiên

3.3. Kết luận

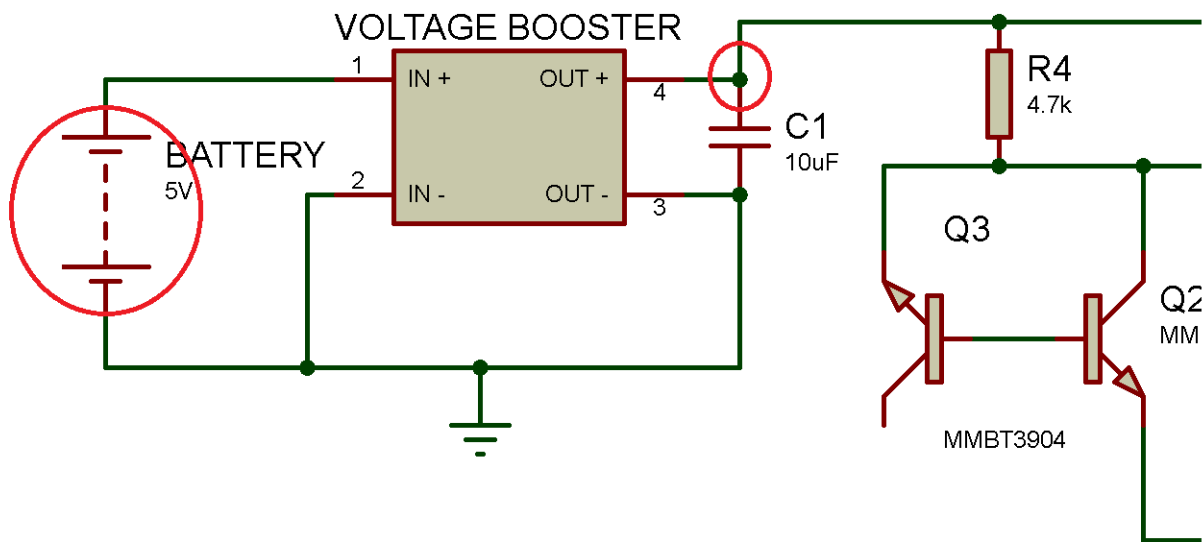
Bộ test gồm 23.000.000 bit đã vượt qua 16 bài NIST test và đưa ra kết quả là không thể dự đoán được. Với số lượng mẫu là 23.000.000 cũng đã là một bộ mẫu ở mức trung bình. Vì vậy ta có thể kết luận rằng mạch tạo số ngẫu nhiên có thể tin tưởng được.

CHƯƠNG 4. MỘT SỐ PHƯƠNG PHÁP TẤN CÔNG MẠCH

4.1. Các cách tấn công

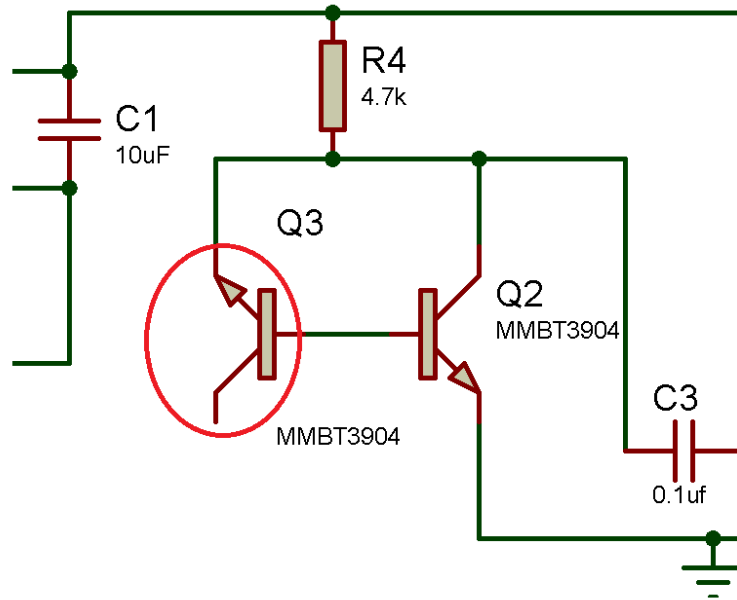
Việc tấn công vào mạch tạo số ngẫu nhiên được thực hiện nhằm để tạo ra giá trị ngẫu nhiên như phía tấn công muốn từ đó có thể dự đoán trước được kết quả mong muốn. Trong chương 4 sẽ đưa ra 2 cách để tấn công mạch tạo số ngẫu nhiên đó là thay đổi điện áp cấp nguồn và tăng nhiệt độ của nguồn entropy. [15]

4.1.1. Thay đổi điện áp nguồn



Hình 4.1. Vị trí tấn công điện áp nguồn

Theo hình 4.1 ta tấn công vào vị trí 1 hoặc 2 với mục đích thay đổi nguồn điện áp cấp vào Q3 hay nguồn entropy của hệ thống. Việc tấn công dựa trên nguyên lý hiệu ứng avalanche rằng nhiễu tạo bởi phân lớp p-n chỉ được tạo ra khi đáp ứng một điện áp ngược lớn điện áp đánh thủng của phân lớp đó. Việc ngắt nguồn làm cho mạch không thể tạo ra nhiễu từ đó không tạo ra được xung clock và làm cho giá trị đầu ra Q của D flip-flop dừng lại ở giá trị 0 hoặc 1 như ở hình 4.2.



Hình 4.3. Vị trí nguồn entropy để tán công nhiệt

Bảng 4.1 bên dưới là kết quả các NIST test với 500.000 bit thử khi nguồn entropy hoạt động ở nhiệt độ bình thường.

Bảng 4.1. Kết quả của các NIST test của 500.000 bit khi nguồn entropy hoạt động ở nhiệt độ bình thường

Bài kiểm tra	P-Value	Kết luận
01. Frequency (Monobit) Test	0.048687609	Ngẫu nhiên
02. Frequency Test within a Block	0.016840464	Ngẫu nhiên
03. Runs Test	0.665579607	Ngẫu nhiên
04. Test for the Longest Run of Ones in a Block	0.338095928	Ngẫu nhiên
05. Binary Matrix Rank Test	0.550771115	Ngẫu nhiên
06. Discrete Fourier Transform (Spectral) Test	0.012599748	Ngẫu nhiên
07. Non-overlapping Template Matching Test	0.01024574	Ngẫu nhiên
08. Overlapping Template Matching Test	0.58036056	Ngẫu nhiên

09. Maurer's "Universal Statistical" Test		0.291774839	Ngẫu nhiên
10. Linear Complexity Test		0.901056092	Ngẫu nhiên
11. Serial Test:		0.142174819	Ngẫu nhiên
		0.054794836	Ngẫu nhiên
12. Approximate Entropy Test		0.116742395	Ngẫu nhiên
13. Cumulative Sums Test (Forward)		0.015707594	Ngẫu nhiên
14. Cumulative Sums Test (Backward)		0.032460313	Ngẫu nhiên
15. Random Excursions Test:			
Trạng thái	Chi Squared	P-Value	Kết luận
-4	13.40917864	0.019831654	Ngẫu nhiên
-3	1.740423529	0.883768242	Ngẫu nhiên
-2	1.352860486	0.929399542	Ngẫu nhiên
-1	1.620915033	0.898708596	Ngẫu nhiên
1	0.183006536	0.999285976	Ngẫu nhiên
2	4.343419672	0.501102525	Ngẫu nhiên
3	11.00828235	0.051216016	Ngẫu nhiên
4	3.124868995	0.680741659	Ngẫu nhiên
16. Random Excursions Variant			
Trạng thái	COUNTS	P-Value	Kết luận
-7	303	0.97653619	Ngẫu nhiên
-6	349	0.653580213	Ngẫu nhiên
-5	359	0.552382164	Ngẫu nhiên
-4	335	0.723752353	Ngẫu nhiên
-3	347	0.580645386	Ngẫu nhiên
-2	341	0.592829111	Ngẫu nhiên

-1	330	0.664389443	Ngẫu nhiên
1	339	0.44120852	Ngẫu nhiên
2	323	0.491966615	Ngẫu nhiên
3	308	0.935565055	Ngẫu nhiên
4	311	0.907105709	Ngẫu nhiên
5	340	0.538794938	Ngẫu nhiên
6	386	0.221607558	Ngẫu nhiên
7	380	0.318720388	Ngẫu nhiên
8	351	0.583379988	Ngẫu nhiên
9	359	0.552382164	Ngẫu nhiên

Bảng 4.2 bên dưới là kết quả bài kiểm tra NIST test với cùng số mẫu thử khi tác động nhiệt độ vào nguồn entropy

Bảng 4.2. Kết quả của các NIST test của 500.000 bit khi nguồn entropy bị tác động bởi nhiệt độ

Bài kiểm tra	P-Value	Kết luận
01. Frequency (Monobit) Test	0	Không ngẫu nhiên
02. Frequency Test within a Block	0	Không ngẫu nhiên
03. Runs Test	0	Không ngẫu nhiên
04. Test for the Longest Run of Ones in a Block	1.78E-20	Không ngẫu nhiên
05. Binary Matrix Rank Test	0.001218534	Không ngẫu nhiên
06. Discrete Fourier Transform (Spectral) Test	8.10E-86	Không ngẫu nhiên
07. Non-overlapping Template Matching Test	0	Không ngẫu nhiên
08. Overlapping Template Matching Test	0.575842126	Ngẫu nhiên

09. Maurer's "Universal Statistical" Test		0	Không ngẫu nhiên
10. Linear Complexity Test		0.017113809	Ngẫu nhiên
11. Serial Test:		0	Không ngẫu nhiên
		0	Không ngẫu nhiên
12. Approximate Entropy Test		0	Không ngẫu nhiên
13. Cumulative Sums Test (Forward)		0	Không ngẫu nhiên
14. Cumulative Sums Test (Backward)		0	Không ngẫu nhiên
15. Random Excursions Test:			
Trạng thái	Chi Squared	P-Value	Kết luận
-4	13.40917864	0.019831654	Ngẫu nhiên
-3	1.740423529	0.883768242	Ngẫu nhiên
-2	1.352860486	0.929399542	Ngẫu nhiên
-1	1.620915033	0.898708596	Ngẫu nhiên
1	0.183006536	0.999285976	Ngẫu nhiên
2	4.343419672	0.501102525	Ngẫu nhiên
3	11.00828235	0.051216016	Ngẫu nhiên
4	3.124868995	0.680741659	Ngẫu nhiên
16. Random Excursions Variant			
Trạng thái	COUNTS	P-Value	Kết luận
-7	22	0.72413254	Ngẫu nhiên
-6	23	0.730527924	Ngẫu nhiên
-5	21	0.66193925	Ngẫu nhiên
-4	20	0.608727509	Ngẫu nhiên
-3	13	0.395951025	Ngẫu nhiên
-2	14	0.359300654	Ngẫu nhiên

-1	20	0.447699072	Ngẫu nhiên
1	21	0.362726506	Ngẫu nhiên
2	27	0.395951025	Ngẫu nhiên
3	38	0.627625805	Ngẫu nhiên
4	39	0.726286149	Ngẫu nhiên
5	40	0.74488162	Ngẫu nhiên
6	57	0.291789863	Ngẫu nhiên
7	77	0.082180515	Ngẫu nhiên
8	97	0.02125027	Ngẫu nhiên
9	110	0.010583547	Ngẫu nhiên

Như có thể thấy ở 2 bảng trên, sau khi tăng nhiệt độ của nguồn entropy lên thì giá trị ngẫu nhiên thu được trở nên dễ đoán hơn dựa trên kết quả của NIST test. Vì vậy ta có thể kết luận rằng tăng nhiệt độ nguồn entropy là một trong những cách hiệu quả để tấn công mạch tạo số ngẫu nhiên.

4.2. Kết luận

Thông qua chương 4 ta biết thêm được 2 cách tấn công vào mạch nhằm với mục đích vô hiệu hóa mạch tạo số ngẫu nhiên hoặc thao túng mạch để tạo ra giá trị mong muốn. Tuy nhiên, 2 phương pháp trên yêu cầu bên tấn công phải tương tác vật lý trực tiếp với mạch để có thể thay đổi. Do đó một trong những phương pháp để ngăn chặn kiểu tấn công này là bảo vệ mạch và nguồn cấp mạch tại những vị trí mà bên tấn công không thể tiếp xúc được và ít bị ảnh hưởng bởi yếu tố môi trường.

TÀI LIỆU THAM KHẢO

- [1] M. S. Ş. c. a. Ç. K. Koç, *True Random Number Generators*, 2014.
- [2] V. F. a. M. Drutarovsk'y, *True Random Number Generator Embedded in Reconfigurable Hardware*, 2002.
- [3] P. L'Ecuier, *Random Number Generation*, 2012.
- [4] jongrover, "github.com," 2022. [Online]. Available: <https://github.com/jongrover/true-random?tab=readme-ov-file>.
- [5] B. Subedi, "how2electronics," Boost Converter: Basics, Working, Design & Application, [Online]. Available: <https://how2electronics.com/boost-converter-basics-working-design-application/>.
- [6] D. Romão, *Extremely Secure Communication*, 2015.
- [7] Madhu-SUDAN-GUPTA, *Noise in Avalanche Transit-Time Devices*, 1971.
- [8] "altervista," Random Sequence Generator based on Avalanche Noise , [Online]. Available: <http://holdenc.altervista.org/avalanche/>.
- [9] N. C. Braga, "incbtech.com," [Online]. Available: <https://www.incbtech.com/articles/17-paranormal-electronic/333-white-noise-generator-art078.html>.
- [10] ONSEMI, "alldatasheet.com," 2006. [Online]. Available: <https://pdf1.alldatasheet.com/datasheet-pdf/view/12160/ONSEMI/MC74HC14A.html>.
- [11] "electronics-tutorial.net," Toggle Flip-flop, [Online]. Available: <https://www.electronics-tutorial.net/sequential-logic-circuits/toggle-flip-flop/>.

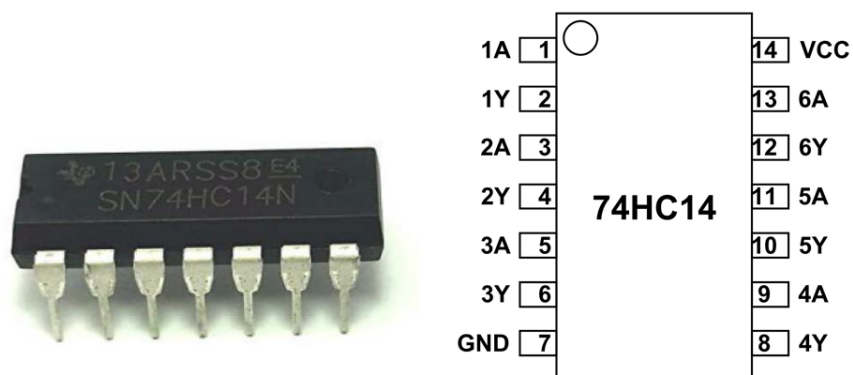
- [12] A. Magyari, "mdpi," Review of State-of-the-Art FPGA Applications in IoT Networks, 2022. [Online]. Available: <https://www.mdpi.com/1424-8220/22/19/7496>.
- [13] "reichelt," [Online]. Available: <https://www.reichelt.com/it/en/artiy-a7-100t-artix-7-fpga-development-board-digil-410-319-1-p285629.html?&nbc=1>.
- [14] J. J. M. S. E. L. M. M. V. D. A. J. S. AndrewRukhin, *A Statistical Test Suite for Random and Pseudorandom Number Generators for Cryptographic Applications*, 2010.
- [15] A. P. V. R. I. V. Yrjo Koyen, *Attacking Hardware Random Number Generators in a Multi-Tenant Scenario*, 2020.
- [16] "linhkien3m.vn," [Online]. Available: <https://linhkien3m.vn/module-boost-dcdc-ghim-dien-ap-ra-5v8v9v12v-chuyen-dung-cho-pin-lithium-p27681827.html>.
- [17] N. Semiconductors, "alldatasheet.com," 74HC14 Datasheet (PDF), 1997. [Online]. Available: <https://pdf1.alldatasheet.com/datasheet-pdf/view/112419/PHILIPS/74HC14.html>.
- [18] T. INSTRUMENTS, CD4013B CMOS Dual D-Type Flip-Flop, 1998. [Online]. Available: <https://www.ti.com/lit/ds/symlink/cd4013b.pdf>.
- [19] theenggprojects, "rs-online.com," Basics of 2N3904, 2018. [Online]. Available: <https://www.rs-online.com/designspark/basics-of-2n3904>.
- [20] "pchcables.com," 1/4W 1% Metal Film Resistor 4.7k ohm, [Online]. Available: <https://www.pchcables.com/83-1033.html>.
- [21] "vietnic.vn," TỤ 0.1UF - 50V, [Online]. Available: <https://www.vietnic.vn/tu-0-1uf-50v>.
- [22] "vietnic.v," TỤ 10UF - 50V, [Online]. Available: <https://www.vietnic.vn/tu-hoa-10uf-50v>.

[23] "core-electronics.com.au," How to Use Breadboards, [Online]. Available:
<https://core-electronics.com.au/guides/how-to-use-breadboards/>.

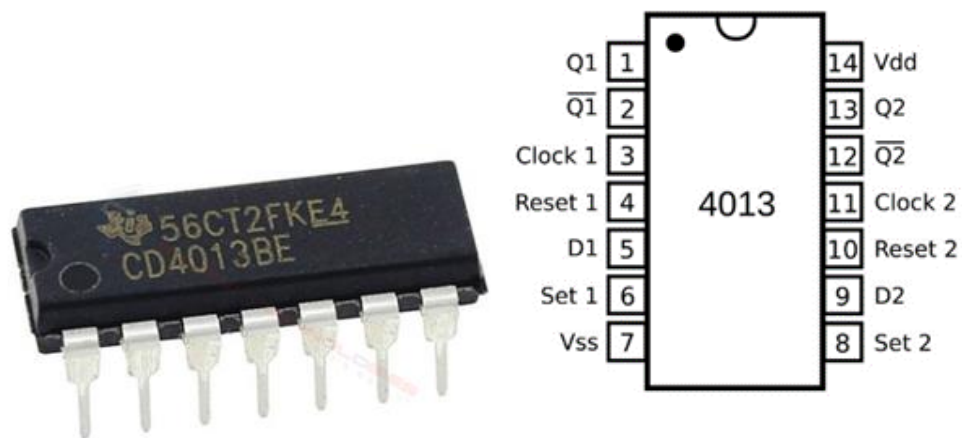
PHỤ LỤC A



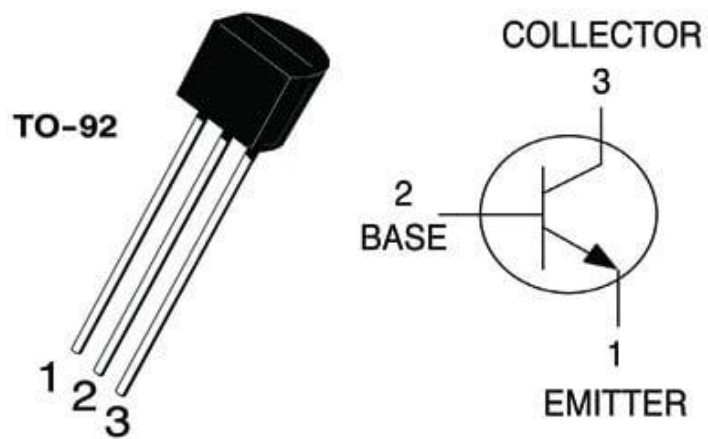
Hình 1. Module tăng điện áp đầu vào từ 5V lên 12V [16]



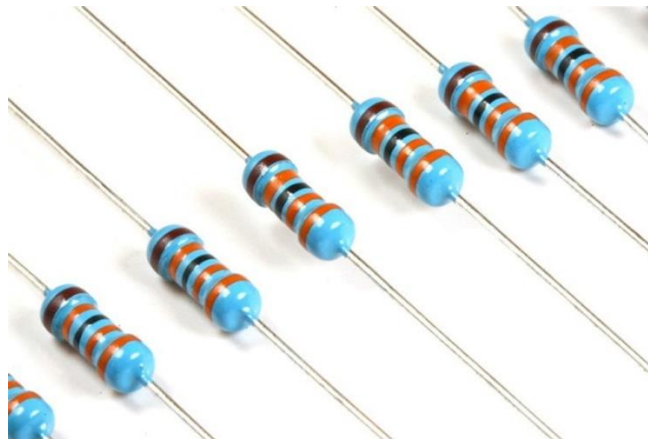
Hình 2. Hex-Schmitt Trigger 74HC14 [17]



Hình 3. Mạch tích hợp CD4013BE (D-flip flop) [18]



Hình 4. Transistor loại NPN 2N 3904 [19]



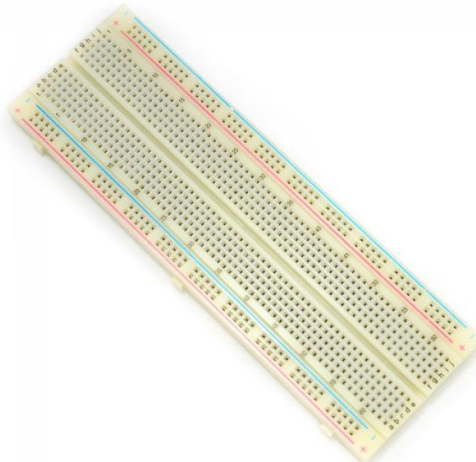
Hình 5. Điện trở 4.7K Ohm [20]



Hình 6. Tụ điện 0.1 microFarad [21]



Hình 7. Tụ điện 10 microFarad [22]



Hình 8. Breadboard [23]

PHỤ LỤC B

Bảng 1. Thông số cơ bản của module tăng điện áp [16]

Kích thước	22x11mm
Khối lượng	10g
Đầu ra (đầu vào 3.7 V)	12V 0.3A
Đầu ra (đầu vào 5V)	12V 0.3A

Bảng 2. Mô tả chân của IC 74HC14 [17]

Pin	Mô tả
A1, A2, A3, A4, A5, A6	Chân đầu vào
Y1, Y2, Y3, Y4, Y5, Y6	Chân đầu ra
Vcc	Chân cấp nguồn
GND	Chân nối đất

Bảng 3. Mô tả chân của CD4013BE [18]

Pin	Mô tả
Q	Chân tín hiệu ra
\bar{Q}	Chân tín hiệu đảo của Q
Clock	Lối vào xung clock
D	Lối vào dữ liệu (Data).
Set	Thiết lập đầu ra là 1
Reset	Thiết lập đầu ra là 0
Vss	Chân nối đất
Vdd	Điện áp nguồn

PHỤ LỤC C

Code lập trình cho FPGA <https://github.com/jake-newbie/True-random-number-generator-on-FPGA>